

LA FAUNE DU RHAETIEN SUPÉRIEUR DES MONTS PERȘANI (CARPATES ORIENTALES)

Dan PATRULIUS



Key words: Paleontology. New species. Brachiopods. Bivalves. Rhaetian. Perșani Mts. Romania.

Abstract: *The Upper Rhaetian fauna from the Perșani Mountains (East Carpathians). From an olistolithe in the left bank of the Vârghiș Valley, downstream the Merești Gorges, a faunal assemblage has been identified, attesting the presence of the Uppermost Triassic (Upper Rhaetian) in the Perșani Mts. 18 brachiopod species are described and figured, 10 of which are new species, as well as 14 bivalve species, six of which are new species.*

Dans l'un de nombreux olistolithes englobés dans la formation de Wildflysch d'âge barrémien-aptien inférieur du secteur nord des Monts Perșani, Ileana Popescu a récolté une riche faune qui contient, en principal, des Bivalves et des Brachiopodes. Cet olistolithe, appartenant à la "Série" d'Olt (Patrulius, dans ce volume) est situé dans la rive gauche de la vallée du Vârghiș, en aval des gorges de Merești. Il est constitué de calcaire encrinétique gris et blanc, épais seulement de 3 m, qui a fourni une association faunique remarquable par le nombre d'espèces et d'exemplaires.

Loin d'être complète, l'inventaire paléontologique comprend des Brachiopodes, tels quels: *Fissirhynchia fissicostata* (Suess), de nouvelles espèces de *Fissirhynchia* (*ageri*, *euzinelliformis*, *fissicostata* var. *al-longée*), *Cirpa* (*sibliki*, *C. sp. ex gr. sibliki* n. sp. indet.), *Furcirhynchia* (*F. n. sp. indet.*), *Fimbriothyris* (*zapfei*), *Lepismatina*, *Laballa*, ainsi que *Zeilleria norica* (Suess), *Z. elliptica* (Zugmayer), *Z. moisseievi* Dagys, *Z. aff. austriaca* (Zugmayer), *Aulacothyris ruedti* Bittner et des formes apparentées (*A. ruedti persanensis* n. sp.).

Quant aux Bivalves, on y a trouvé les espèces suivantes: *Oxytoma inaequivalvis* (J. Sowerby) (très nombreuses), *Antiquillima succinta* (Schlotheim), *A. sp. ex gr. A. succinta* (Schlotheim), *A. ctenostreiforme* n. sp., *Pseudolimea drnavensis* (Kochanova), *P. cf. hettangiensis* (Terquem), et de nouvelles espèces de *Pseudolimea* (*P. gaetani* et *P. subaequilatera*), *Plagiostoma* sp. ex gr. *P. giganteum* (J. Sowerby), *Pleuronectites* sp. et de nouvelles espèces de *Praechlamys* [*Chlamys* (*Praechlamys*) *guxei*], *Entoloides* n. sp. indet., *Filopecten* n. sp. indet. et également *Gryphaea*.

Cette association est déroutante, car elle contient des formes soit uniquement du Trias terminal (*Pseudolimea drnavensis* et *Zeilleria norica*, *Z. elliptica*, *Z. austriaca*, *Z. moisseievi*), soit uniquement du Jurassique inférieur (*Antiquillima succinta*, *Pseudolimea hettangiensis*, les espèces de *Furcirhynchia* et *Cirpa*), quelques exemplaires de Spiriferidae à habitus jurassique ainsi que des formes communes aux deux intervalles stratigraphiques (*Oxytoma inaequivalvis*).

Dans la "Série" d'Olt, cette faune est plus récente que la faune du calcaire rouge encrinétique de la Klippe de Meghieș (Sévatién), mais plus ancienne que la faune du calcaire d'Adneth du toit (Sinémurien inférieur). La faune décrite et, le plus probablement, d'âge rhaetien supérieur.

Description paléontologique

Brachiopoda

Fissirhynchia euzinelliformis n. sp.

Fig. 1; Pl. I, fig. 1 a-d

Holotype: No. 17239, collection du Musée de Géologie, Bucarest

Paratype: No. 17240, même collection

Locus typicus: rive gauche de la vallée du Vârghiș, en aval des gorges de Merești, Monts Perșani.

Stratum typicum: calcaire encrinétique gris-blanc du Trias terminal.

Derivatio nominis: de la ressemblance extérieure aux petites espèces d'*Euzinella*.

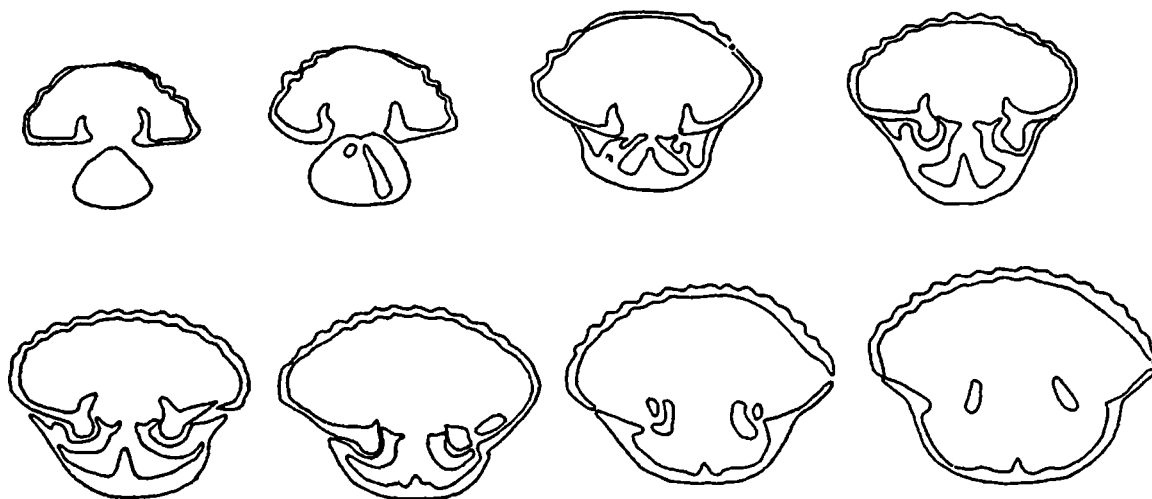


Fig. 1 - Sections s riees   travers *Fissirhynchia euzinelliformis* n. sp.

Mat riel examin : 5 exemplaires.

Dimensions:

	10,0	1a	�
1H	13,0	14,0	10,0
2P	10,6	12,0	8,5
3T	12,0	11,5	8,5
4T	10,0	10,5	5,5

Diagnose: *Fissirhynchia* de petite taille   contour subpentaogonal   subcirculaire,   valve p donculaire peu d prim e vers le c t  ant rieur,   convexit  r guli re de la valve brachiale sans lobe m dian,   peine  bauch e,   c tes peu aigu es en nombre de 14   18,   dents articulaires massives, simples, log es dans des alv oles profondes. Le septum m dian s' tend sur au moins un tiers de la longueur de la valve brachiale. Ressemble   *Euziniella anatolica* dont elle se distingue ext rieurement par le contour plus large,  tant moins aigu au c t  post rieur.

Fissirhynchia ageri n. sp.

Fig. 2; Pl. I, fig. 2 a-d

Holotype: No. 17242 (  16 c tes), collection du Mus e de G ologie, Bucarest.

Paratype: No 17243 (  11 c tes), m me collection.

Locus typicus: versant gauche de la vall e du V rghi , en aval des gorges de Mere ti, Monts Per ani.

Stratum typicum: calcaire encrinitique gris-blanc du sommet du Trias.

Derivatio nominis: d di e   mon ami Victor Derek Ager,  minent sp cialiste dans l' tude des Brachiopodes m sozoïques.

Mat riel examin : environ 50 exemplaires, dont 11 int gralement conserv s.

Dimensions:

	10,0	1a	�
holotype 1	19,0	21,7	13,5
paratype 2	17,5	20,0	14,0
3	12,5	12,0	7,5
4	16,0	17,0	9,0
5	18,0	18,0	12,2
6	18,5	20,5	14,0
7	18,5	21,7	14,0
8	18,5	22,5	14,0
9	19,2	19,5	14,0
10	19,2	21,0	-
11	19,2	21,5	13,0

Diagnose: *Fissirhynchia* de taille moyenne,   contour subpentaogonal,   valve p donculaire fortement d prim e vers le c t  ant rieur,   lobe m dian peu saillant,   10-16 c tes aigu es, pour la plupart non divis es, dont 5-6 sur le lobe m dian. Vu du c t  ant rieur, le contour ventral se pr sente rectiligne   l g rement excav , vue du c t  lat rale la valve p donculaire n'est visible que vers l'extr mit  post rieure et m me l -bas elle n'est que peu convexe.

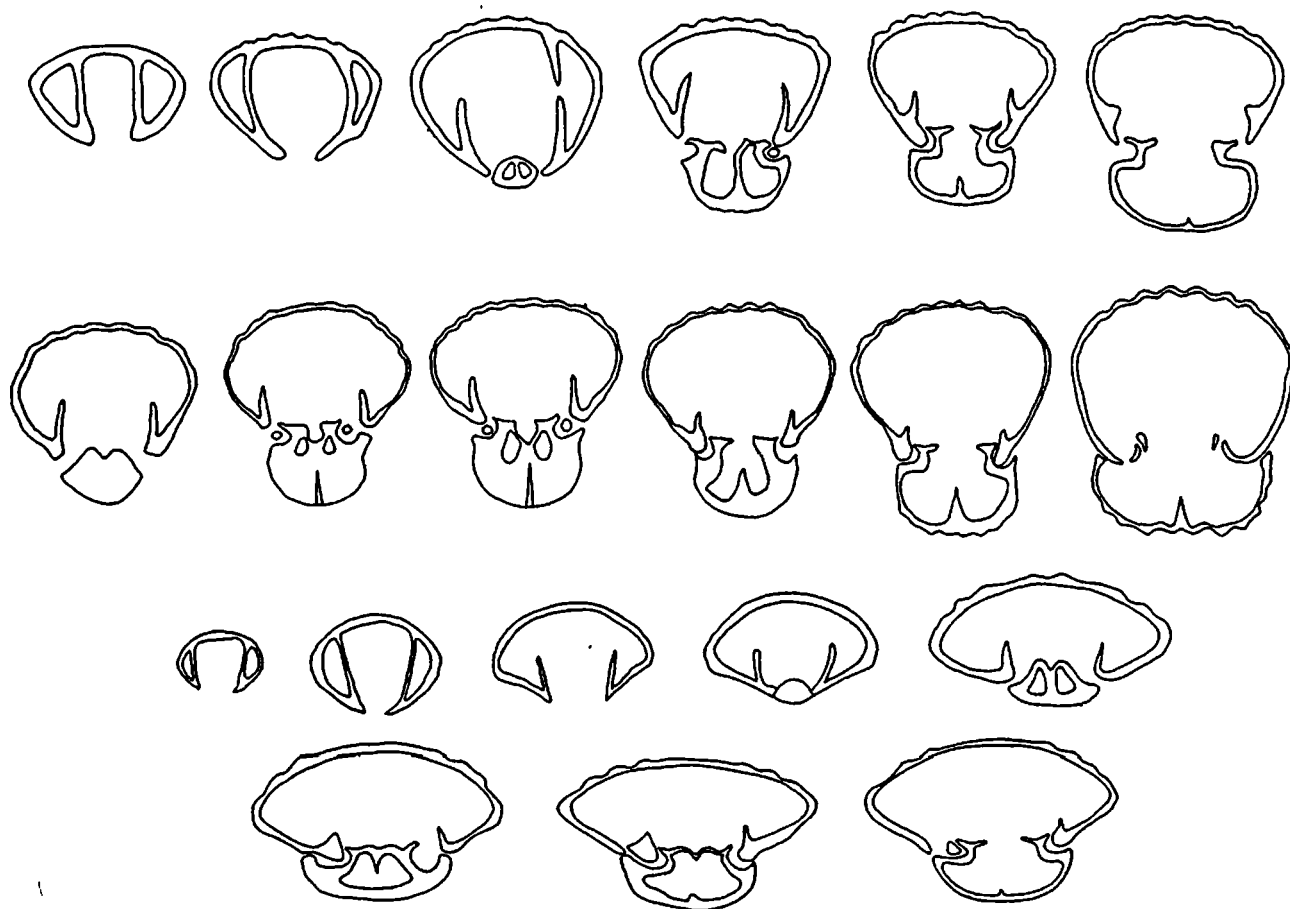


Fig. 2 - Sections sériées à travers *Fissirhynchia ageri* n. sp.

Se distingue du type *F. fissicostata* (Suess, 1854; pl. IV, fig. 1 a-c) par le nombre plus réduit des côtes dont la plupart se détachent juste de l'apex de la valve et également par la valve pédonculaire plus déprimée vers le côté intérieur et corrélativement un lobe médian plus nettement individualisé. Plus proches de *F. ageri* sont les exemplaires de *F. fissicostata* figurés par Pearson (1977, pl. 6, fig. 4, 5, 8, 9) et par Zugmayer (1880, pl. 4, fig. 13).

Fissirhynchia cf. *fissicostata* (Suess, 1854)
Pl. I, fig. 3

Six exemplaires fragmentaires semblent bien appartenir à cette espèce telle qu'elle est représentée par le spécimen type figuré par Suess (1854, pl. IV, fig. 1 a-c). Le plus complet est une valve pédonculaire à intérieures ventrales bien définies, à convexité modérée, à dépression faiblement exprimée, à 21 côtes dont 7

dans la dépression médiane. Aucun des exemplaires examinés ne montre une dichotomie évidente des côtes.

Fissirhynchia fissicostata (Suess, 1854) variant
allongé
Pl. I, fig. 4 a-d

Cinq exemplaires se distinguent du type *F. fissicostata* par leur forme allongée pyriforme. Leur valve brachiale porte 10 à 14 côtes dont quelques unes présentent une dichotomie tardive. Se distinguent de *F. ageri* par leur valve pédonculaire un peu plus convexe et la valve brachiale dépourvue de lobe médian.

Le contour est identique à celui de *F. fissicostata* var. *longirostris* ZUGMAYER dont le spécimen type est reproduit par Pearson (1977, pl. 6, fig. 7).

Cirpa sibliki n. sp.

Pl. I, fig. 5 a-d

Holotype: No. 17250, collection du Musée de Géologie, Bucarest.

Locus typicus: olistolithe sur le versant gauche de la vallée du Vârghiş, en aval des gorges de Mereşti, Monts Perşani.

Stratum typicum: calcaire encrinétique gris-blanc du sommet du Trias.

Derivatio nominis: dédié au docteur Miloş Siblik, éminent spécialiste dans l'étude des Brachiopodes triasiques et jurassiques des Carpathes slovaques.

Matériel examiné: 4 exemplaires, dont deux valves brachiales isolées.

Dimensions de l'holotype: 10 = 21, 1a = 22, é = 15,5.

Diagnose: *Cirpa* de taille moyenne, à crochet fortement recourbé, à lobe médian peu saillant, à surface frontale relativement large, à lobe médian peu saillant de la valve brachiale, à côtes robustes, tectiformes à subtectiformes, dont quatre sur le lobe médian et trois-quatre d'une part et de l'autre. Les côtes se multiplient par bifurcation près de la pointe des valves. Sur la valve brachiale l'aire de bifurcation des côtes est recouverte par le crochet de la valve pédonculaire.

Cette espèce se distingue de *Cirpa langi ageri* en premier lieu par son épaisseur plus réduite et par le lobe médian peu saillant.

Cirpa sp. ex gr. *sibliki* PATRULIUS

Pl. I, fig. 6

Matériel examiné: 2 valves brachiales, 2 valves pédonculaires.

Certains exemplaires se distinguent de *C. sibliki* par leur lobe médian très peu saillant jusqu'à nul et par l'exigüité de leur surface frontale plate. La plus grande des valves brachiales (10 = 22,5, 1a = 23) possède un lobe médian à peine individualisé, pourvu de quatre grosses côtes subtectiformes. Il y a, d'une part et de l'autre, six-sept côtes moins robustes. La plus grosse des valves pédonculaires (10 = 22) est uniformément convexe sur toute son étendue, sans ébauche d'une dépression médiane. Elle porte onze côtes tectiformes.

Cirpa n. sp. indet.

Pl. I, fig. 7 a-d

Un exemplaire complet est remarquable par son contour subtrigonal, fortement allongé, 10 = 15, 1a = 12, é = 9. La partie frontale, abruptement tronquée, est caractéristique du genre. Le rostre est subdressé, très légèrement recourbé. La valve brachiale possède un

lobe médian peu saillant. Les côtes sont robustes, tectiformes, différenciées à partir de la pointe des valves. Il y en a trois sur le lobe médian, une ou deux d'une part et de l'autre. Une valve pédonculaire, 19 mm de longue et portant cinq côtes dans sa légère dépression médiane semble appartenir à la même espèce. Ces exemplaires se distinguent nettement de *C. fronto* (QUENSTEDT) par leur contour plus allongé et leur épaisseur beaucoup plus réduite.

Furcirhynchia n. sp. indet.

Pl. I, fig. 8 a, c, d

Un seul exemplaire incomplet est remarquable par son ornementation à côtes très fines au côté postérieur; environ 40 capillae bien plus fines que celles de *Rimirhynchopsis* dont *Furcirhynchia* se distingue aussi par sa coquille plus mince. Cet exemplaire, à contour subpentagonal, est 14 mm de long. Son rostre est petit et presque droit, ce qui le fait se distinguer nettement des représentants du genre *Rimirhynchia*. La valve brachiale porte un lobe médian peu saillant et pourvu de trois grosses côtes qui occupent environ un quart de sa longueur. Deux autres côtes peu saillantes ornent les flancs. Il y a environ cinq capillae sur le lobe médian. La valve pédonculaire est peu convexe dans sa moitié postérieure. Par sa taille et son aspect général cet exemplaire est comparable à *Furcirhynchia cotteswoldiae* (UPTON) et à *F. striata* (QUENSTEDT). Toutefois, à défaut d'une étude des caractères internes, son attribution au genre *Furcirhynchia* ne peut être que provisoire.

Fimbriothyris zapfei n. sp.

Pl. I, fig. 13 a-d

Holotype: No. 17268, collection du Musée de Géologie, Bucarest.

Locus typicus: olistholite sur le versant gauche de la vallée du Vârghiş, en aval des gorges de Mereşti, Monts Perşani.

Stratum typicum: calcaire encrinétique gris-blanc du sommet du Trias.

Derivatio nominis: dédiée au professeur Helmut Zapfe, éminent stratigraphe et paléontologue autrichien.

Nombre d'exemplaire: 4

Dimensions:

	10,0	1a	é
holotype	24,5	20,0	14,5
topotype	21,0	17,5	10,0
topotype	20,0	16,0	10,5
topotype	18,0	13,5	-
(valve pédon.)			

Diagnose: *Fimbriothyris* de grande taille, à contour subpentagonal à nettement élliptique, à épaisseurs tout-à-fait variables, à côtes bien irrégulières qui s'individualisent à partir d'une longueur de 14-21 mm. L'holotype porte treize côtes, dont sept sur la partie médiane de la valve brachiale.

L'holotype et un autre exemplaire de dimensions plus petites sont comparables surtout aux exemplaires de *F. guerangeri* (Deslong, Champs, 1856), figurés par Delance (1974) en tant que variété pentagonale (pl. 6, fig. 2) et forme intermédiaire (pl. 6, fig. 5), mais généralement chez *F. guerangeri* les côtes commencent à s'individualiser plus tôt.

Zeilleria norica (Suess)

Pl. I, fig. 14 b, d

Les exemplaires adultes représentant cette espèce sont rares et fragmentaires; le plus grand est environ 28 mm de long. Un autre est remarquable par sa partie antérieure nettement bilobée.

Zeilleria aff. *austriaca* (ZUGMAYER)

Pl. I, fig. 15

Trente exemplaires se distinguent des autres espèces de *Zeilleria* du même endroit par leur contour subcirculaire à élliptique et leurs bords tranchants. Le bord antérieur est régulièrement arrondi à rectiligne, la commissure frontale est droite, rarement un peu infléchie, vers la partie dorsale. Chez *Z. austriaca* cette inflexion est plus accusée et la coquille présente des lignes d'accroissement bien marquées.

Dimensions:

	10,0	1a	é
1	6,5	6,0	2,5
2	9,2	9,2	4,0
3	9,5	7,5	3,7
4	9,5	8,5	3,5
5	9,7	8,5	3,7
6	9,7	8,2	4,2
7	9,5	8,5	4,0
8	12,0	10,0	5,2
9	14,5	11,5	5,2
10	15,0	12,5	5,2
11	15,5	13,5	6,2
12	15,5	14,0	6,0
13	19,0	16,0	8,5
14	22,0	15,7	(8)
15	24,0	20,0	11,2
16	26,0	20,5	11,5

Zeilleria elliptica (ZUGMAYER)

Pl. I, fig. 16 b, c

Deux exemplaires de grande taille (plus de 20 mm de long) sont comparables, par leur contour élliptique, leur bord antérieur arrondi ou subtronqué, à commissure droite, à l'exemplaire allongé de *Z. elliptica* figuré par Zugmayer (1880, pl.II, fig. 8). Le rostre subdressé expose un delthyrium isocèle. Le septum dorsal n'atteint pas la demi-longueur de la valve brachiale.

Zeilleria moisseievi DAGYS

Pl. I, fig. 17 a-d

C'est l'espèce la plus abondante dans l'association de Brachiopodes du niveau considéré: 140 d'exemplaires récoltés. La longueur de la plupart des spécimens est de 12 à 16 mm. Le contour varie d'une forme nettement pentagonale à une forme subtrigonale. Chez un grand nombre d'exemplaires les bords latéraux sont subparallèles à la partie antérieure de la coquille. Le bord antérieur est droit ou légèrement excavé. La commissure frontale est le plus souvent un peu aiguë à concavité dirigée vers la valve brachiale. Le crochet subdressé expose un petit delthyrium. À partir d'une longueur d'environ 12 mm, s'individualisent deux variants, différenciés par leur épaisseur.

Dimensions:

	10,0	1a	é
1	10,0	9,0	4,0
2	10,0	9,5	4,0
3	10,5	9,0	4,0
4	11,0	9,7	4,2
5	11,0	10,0	4,0
6	11,2	10,0	5,0
7	11,5	9,5	4,5
8	12,5	10,0	5,5
9	12,5	11,2	5,5
10	13,0	11,0	6,0
11	13,5	11,0	6,2
12	13,5	13,0	6,5
13	13,5	11,5	6,7
14	14,0	11,0	6,7
15	14,0	12,0	6,5
16	14,5	12,5	6,7
17	14,7	11,2	6,5
18	15,0	12,0	7,5
19	15,5	12,0	7,5
20	12,0	11,0	6,2
21	12,2	11,0	7,5
22	12,5	10,5	6,5
23	12,5	11,0	6,5

24	12,7	10,2	6,5
25	12,5	10,5	7,0
26	13,0	11,0	7,2
27	13,0	11,5	7,2
28	13,7	12,0	7,2
29	13,7	11,5	7,7
30	14,0	11,5	7,0
31	14,0	11,5	7,5
32	14,2	11,2	7,0
33	14,5	12,2	7,0
34	15,2	12,7	7,2
35	15,7	13,0	8,5
36	15,5	12,5	8,2
37	15,7	12,5	8,5
38	17,5	14,2	9,0

Zeilleria sp. ex gr. *Z. moisseievi* DAGYS
Pl. I, fig. 18 b, d

Quatre exemplaires se distinguent du reste par l'absence d'un sinus médian sur la valve brachiale. Leurs dimensions sont:

10,0	1a	é
13,5	10,0	7,2
14,0	11,2	6,5
14,0	11,0	27,0
15,5	11,5	7,0

Leur appartenance à l'espèce de Dagys (1963) est discutable. Ils semblent représenter des exemplaires juvéniles de *Z. norica* (SUESS).

Zeilleria sp.
Pl. I, fig. 19 b, c

Deux exemplaires de petite taille (10 = 14 mm) sont remarquables par leur forte épaisseur (é ≈ 8 mm). Les commissures latérales sont légèrement infléchies, le bord antérieur est droit. Chez l'un d'eux, la valve brachiale est un peu déprimée à la partie antérieure. Ce caractère rapproche les exemplaires décrits de *Z. moisseievi* DAGYS, dont ils pourraient représenter un variant extrême.

Aulacothyris ruedti persanensis n. ssp.
Pl. I, fig. 20 a-d

Holotype: No. 17264, collection du Musée de Géologie, Bucarest.

Paratype: No. 17265, même collection.

Locus typicus: olistolithe sur le versant gauche de la vallée du Vârghiş, en aval des gorges de Mereşti, Monts Perşani.

Stratum typicum: calcaire encrinétique gris-blanc du sommet du Trias.

Derivatio nominis: des Monts Perşani.

Nombre d'exemplaires: 5.

Dimensions:

	10,0	1a	é
holotype	18,0	14,5	10,0
paratype	18,5	12,5	11,0
topotype	17,0	13,5	9,7
topotype (juvénile)	10,0	8,5	4,0

Diagnose: *Aulacothyris* de grande taille, épaisse, à contour pentagonal allongé, à valve brachiale fortement déprimée du côté antérieur, à valve pédonculaire légèrement déprimée près des commissures latérales, à la moitié postérieure.

Les exemplaires décrits, surtout les plus jeunes, sont comparables à *Aulacothyris ruedti* BITTNER des calcaires à *Koninckina telleri* BITTNER de l'Oberseeland. Les exemplaires adultes se distinguent par la taille plus forte et le sinus de la commissure frontale bien plus profond. On doit remarquer toutefois que l'espèce *A. ruedti* est fondée sur un seul exemplaire qui pourrait être immature. Jusqu'à la documentation plus ample sur l'espèce de Bittner, l'attribution des exemplaires décrits en haut à une sous-espèce nouvelle n'est justifiée que par l'âge beaucoup plus récent du gisement des Mont Perşani.

Discinisca sp. A
Pl. I, fig. 21 a, c

Un exemplaire de 19,5 mm de long et de 15 mm de large présente une forme conique surbaissée très excentrique, avec l'apex au tiers postérieur. L'ornementation consiste en anneaux concentriques représentant le bord des lamelles retroussées vers l'apex. Il y en a une vingtaine en 5 mm de rayon. Au côté postérieur s'observe aussi une ornementation radiale peu évidente.

Discinisca sp. B
Pl. I, fig. 22 a, c

Un exemplaire de 21,5 mm de long et de 16,5 mm de large se distingue du précédent par sa forme générale à l'apex plus élevé et moins excentrique. Du côté postérieur s'observe à jour un sillon à peine ébauché, situé à gauche du plan de symétrie et légèrement

arqué. L'ornementation consiste exclusivement en anneaux concentriques en forme de bourrelets séparés par de très fines rayures. Il y en a environ 15 par 5 mm de rayon.

Il s'agit très probablement d'espèces nouvelles qui se distinguent de *Discinisca* sp. figuré par Suess (1854, pl. IV, fig. 24) des couches de Kössen de Schobergraben près d'Adnet, par leur forme plus franchement elliptique et non pas ovoïde et par l'absence d'une ornementation radiale nette.

Bivalvia

Oxytoma inaequalis (J. SOWERBY)

Pl. II, fig. 1

C'est le Bivalve le plus fréquent du gisement en question: environ 100 exemplaires récoltés, dont seulement 25 valves droites. L'ornementation en est assez variable. La valve gauche porte sur la voûte umbonale 11-13 côtes radiales de premier ordre. Les côtes de deuxième ordre, situées au milieu des espaces intercostaux, sont rarement présentes. Les côtes fines, filiformes, de troisième ordre, en nombre de 4-6 entre deux côtes principales, ne sont visibles que sur la coquille. Dans un cas exceptionnel de coquille bien conservée, celle-ci porte sur l'oreillette antérieure, qui est fortement convexe, six côtes principales séparées par des côtes intercalaires filiformes. De vagues côtes filiformes s'observent également sur l'oreillette postérieure aliforme. Les moules internes des valves droites sont habituellement lisses. Sur les mêmes valves la coquille de l'adulte porte sur le côté antérieur cinq-six rayures radiales qui n'atteignent pas la région umbonale.

Antiquilima succinta (SCHLOTHEIM, 1813)

Pl. II, fig. 2

Cette espèce, signalée jusqu'à présent seulement dans l'Hettangien du domaine celto-souabe, est relativement fréquente: 17 exemplaires dont 10 plus ou moins complets, les autres très fragmentaires.

Dimensions:

	H	L	H/L
1	(44)	30	1,46
2	36	27	1,33
3	29,5	22,5	1,31
4	25,5	19	1,34

Dans le plus grand des exemplaires examinés (1), représenté par une valve droite, l'ornementation est

identique à celle du spécimen figuré par Quenstedt (1856) et reproduit par Cox et Hertlein in Moore (1969): entre deux côtes de premier ordre, légèrement sinueuses, s'intercalent 2-3 côtes de second ordre. Sur le côté postérieur il y a aussi des lignes d'accroissement bien marquées. Une valve droite de taille moyenne (3), à ornementation plus grossière met en évidence les caractères spécifiques de l'oreillette antérieure qui est à peine décalée par rapport à la voûte umbonale, faiblement convexe et pourvue de stries de croissance profondes, courbes, parallèles au bord antérieur qui est légèrement concave. Dans l'échantillon no. 4 l'oreillette postérieure n'est qu'une expansion plate de la voûte umbonale, couverte de côtes radiales jusqu'au bord cardinal. Des lignes d'accroissement fortement marquées, à partir d'une hauteur de 13 mm, dévient la direction des côtes radiales.

Sur de gros fragments à coquille bien conservée on remarque aussi de fines lamelles de croissance mieux marquées sur les côtes que dans les espaces intercostaux.

Antiquilima sp. ex gr. *A. succinta* (SCHLOTHEIM)

Pl. II, fig. 3

Deux valves gauches se distinguent sensiblement de ceux attribuables à *A. succinta* (von SCHLOTHEIM) par leur ornementation constituée de côtes très fines et aussi par leur oreillette antérieure qui est plus fortement décalée par rapport à la voûte umbonale et dont l'ornementation est à peine distincte. Le plus complet de ces exemplaires est 20,5 mm de haut et 15 mm de long (H/L = 1,36).

Antiquilima ctenostreiformis n. sp.

Pl. II, fig. 4

Holotype: No. 17284, collection du Musée de Géologie, Bucarest.

Locus typicus: olistolithe du versant gauche de la vallée du Vârghiș, en aval des gorges de Merești, Monts Perșani.

Stratum typicum: calcaire encrinétique gris-blanc du sommet du Trias.

Derivatio nominis: de l'ornementation semblable à celle du genre *Ctenostreon*.

L'impression externe un peu endommagée d'une valve gauche peu convexe haute de 26 mm est particulièrement remarquable par son ornementation très semblable à celle du genre *Ctenostreon*. Toutefois le contour de cette valve, mis en évidence par les lamelles d'accroissement, est ovale-oblique et la hauteur l'emporte nettement sur la longueur (H/L = 1,19). La partie médiane de la coquille porte 10 côtes,

bien individualisées, à partir de la pointe de l'umbo, légèrement sinueuses, qui s'élargissent régulièrement vers le bord ventral. À partir de 144 mm de hauteur, les côtes sont entrecroisées par des lamelles d'accroissement qui sur leur faite dessinent des festons à convexité dirigée vers le côté dorsal. L'oreillette postérieure, nettement délimitée par rapport à la voûte umbonale porte des stries d'accroissement profondes et courbes. La première côte antérieure marque une discrète carène umbonale. La surface lunulaire, très étroite, porte de fines stries d'accroissement.

Pseudolimea drnavensis (M. KOCHANOVA, 1973)
Pl. II, fig. 5

Un exemplaire de notre collection est bien comparable à l'holotype de *Lima drnavensis* n. sp., figuré par Kochanova (pl. VĀ, fig. 3). C'est une valve gauche subéquilatérale, 23 mm de haut et 20 mm de long (H/L = 1,15). La longueur maximale se trouve dans le tiers ventral. Au côté antérieur, la voûte umbonale tombe à pic sur la commissure, mais il n'y a pas de carène distincte. Au côté postérieur, l'inclinaison est plus réduite. La partie médiane de la voûte umbonale est pourvue de 15 côtes grosses, arrondies au côté dorsal, tectiformes dans le tiers ventral, où s'observe aussi de fines stries de croissance. Entre deux grosses côtes il y a une costule filiforme qui commence à s'individualiser à partir du tiers moyen de la hauteur. À part les grosses côtes médianes, il y a de chaque côté sept côtes plus fines.

Jusqu'à une information plus ample sur la région cardinale, l'attribution de cette espèce au genre *Pseudolimea*, basée principalement sur les caractères de l'ornementation, doit être considérée provisoire. Le caractère subéquilatéral de la coquille suggère l'appartenance au genre *Limatula*, mais chez le dernier, la longueur maximale se trouve à mi-hauteur et au côté postérieur il y a un secteur dépourvu de côtes radiales.

Pseudolimea subaequilaterala n. sp.
Pl. II, fig. 6

Holotype: No. 17286, collection du Musée de Géologie, Bucarest.

Locus typicus: olistolithe sur le versant gauche de la vallée du Vârghiș, en aval des gorges de Merești, Monts Peșani.

Stratum typicum: calcaire encrinétique gris-blanc du Trias terminal.

Derivatio nominis: de la forme presque orbiculaire du contour.

Matériel examiné: 4 exemplaires.

Dimensions:

	H	L	H/L
holotype (valve droite)	15,5	16,0	0,97

Diagnose: *Pseudolimea* de petite taille, à contour subcirculaire, très peu oblique, à inclinaison de la voûte umbonale un peu plus accusée au côté antérieur qu'à celui postérieur, à oreillettes petites, égales, à ornementation faite d'environ 20 côtes arrondies à subtectiformes et de costules filiformes logées dans les espaces intercostaux. Il n'y a pas de côtes sur les flancs de la voûte umbonale.

Se distingue de *P. drnavensis* (KOCHANOVA) par sa convexité plus faible et ses côtes médianes plus nombreuses et moins robustes.

Pseudolimea cf. *hettangiensis* (TERQUEM)
Pl. II, fig. 7

Quatre exemplaires plus ou moins endommagés se font remarquer par leur forme ovale-oblique et leur ornementation constituée de côtes robustes tectiformes, qui apparaissent individualisées sur les moules internes à quelques millimètres de la pointe de l'umbo. Le plus petit de ces exemplaires a environ 16,5 mm de haut et 15,5 mm de long (H/L = 1,06); il est orné de 20 côtes arrondies à subtectiformes. Les espaces intercostaux abritent des costules filiformes précocement individualisées. Le plus grand a 26 mm de haut, 23 mm de long (H/L = 1,13) et porte environ 20 côtes tectiformes. Des costules intercalaires s'observent seulement à la partie postérieure de la coquille. L'oreillette postérieure, qui semble être sensiblement plus développée que l'antérieure, porte de fines stries d'accroissement.

Pseudolimea gaetanii n. sp.
Pl. II, fig. 8

Holotype: No. 17289, collection du Musée de Géologie, Bucarest.

Paratype: No. 17290, même collection.

Locus typicus: olistolithe sur le versant gauche de la vallée du Vârghiș, en aval des gorges de Merești, Monts Peșani.

Stratum typicum: calcaire encrinétique gris-blanc du Trias terminal.

Derivatio nominis: dédié au professeur Maurizio Gaetani, éminent spécialiste dans l'étude du Trias et du Jurassique inférieur de la Lombardie.

Nombre d'exemplaires: neuf valves droites et deux valves gauches.

Dimensions:

	<u>H</u>	<u>L</u>	<u>H/L</u>
1 holotype	22,0	20,5	1,07
2 paratype	13,5	13,5	1,00
3 topotype	9,5	9,0	1,05

6	30,0	(31)	0,96
7	(42)	42,0	1,00

Diagnose: *Pseudolimea* de taille moyenne, inéquilatérale, à convexité modérée, à oreillettes petites et subégales, à côtes peu saillantes, subarrondies à arrondies et qui jusqu'à 12-14mm de hauteur se distinguent à peine sur le moule interne.

L'holotype (1) est une valve droite à coquille exfoliée ornée d'environ 19 côtes arrondies de premier ordre entre lesquelles s'intercalent des côtes un peu moins larges et moins saillantes. L'oreillette postérieure est très petite, l'antérieure n'est pas visible.

Le paratype (2) est une valve gauche ayant conservée partiellement sa coquille qui porte 19 côtes peu saillantes, arrondies et dont les espaces intercostaux sont dépourvus de côtes intercalaires; le moule interne en est lisse jusqu'à 11 mm de hauteur. Les oreillettes sont très petites. La pointe de l'umbo se trouve au milieu de la ligne cardinale. La région cardinale est dépourvue de dents.

Le plus petit des exemplaires est une valve droite à coquille conservée dans la partie antéroventrale. Le moule interne est lisse. Les côtes sont plus étroites et plus saillantes que celles du paratype, séparées par des espaces égaux en largeur.

En général, les exemplaires attribués à *P. gae-tanii* n. sp. se distinguent de *P. hettangiensis* (TERQUEM) dont ils ont les proportions [$H/L = 1,04$ chez l'exemplaire figuré par von Bistram (1903) et reproduit par Cox et Harleim in Moore (1969)], par leurs côtes moins saillantes et qui ne laissent pas de trace sur la partie dorsale du moule interne. Mais il n'est pas exclu que ces différences soient contrôlées par des conditions écologiques réglant la croissance de la coquille et que tous les exemplaires de *Pseudolimea* à contour ovale-oblique du gisement des Monts Perşani appartiennent à titre de variants à l'espèce de Terquem.

Plagiostoma sp. ex gr. *P. giganteum* (J. SOWERBY)
Pl. II, fig. 9

Matériel examiné: 8 valves gauches et 6 valves droites.

Dimensions:

	<u>H</u>	<u>L</u>	<u>H/L</u>
1	9,5	11,5	0,82
2	12,5	13,0	0,96
3	16,7	17,5	0,95
4	18,5	21,5	0,86
5	20,0	21,5	0,93

C'est un *Plagiostoma* de taille moyenne, à longueur sensiblement égale à la hauteur chez l'adulte, à lunule profondément excavée, à oreillette postérieure courte, à coquille très mince, ornée de stries très fines et denses, visibles près du bord ventral chez les exemplaires de taille plus forte.

Se rapproche de *Plagiostoma subpunctatum* (D'ORBIGNY) et de *P. nudum* (PARONA) par la forme du contour. Se distingue de *Plagiostomum giganteum* (J. SOWERBY) par sa forme plus développée en hauteur chez l'adulte et son angle apical moins obtus: 85° chez un autre plus gros, tandis que chez les exemplaires adultes de *P. giganteum* il dépasse 100° .

Chlamys (Praechlamys) guexi n. sp.
Pl. II, fig. 10, a, b

Holotype: No. 17294, collection du Musée de Géologie, Bucarest.

Paratype (valve gauche): No. 17295, même collection.

Locus typicus: olistolithe sur le versant gauche de la vallée du Vârghiş, en aval des gorges de Mereşti, Monts Perşani.

Stratum typicum: calcaire encrinétique gris-blanc du sommet du Trias.

Derivatio nominis: dédié au professeur Jean Guex de l'Université de Lausanne, éminent spécialiste dans l'étude des Ammonites du Trias et du Jurassique inférieur.

Matériel examiné: 6 valves droites, 8 valves gauches et de nombreux fragments.

Dimensions:

	<u>H</u>	<u>L</u>	<u>H/L</u>
1(s)	13,5	11,0	1,2
2(d)	13,5	11,5	1,1
3(s)	13,5	11,5	1,1
4(d)	15,5	13,5	1,1
5(sP)	19,0	16,0	1,1
6(dH)	26,0	23,0	1,1

Diagnose: *Praechlamys* de taille moyenne à grande (les plus grands exemplaires sont 35 mm ou plus de 35 mm de long) à valves sensiblement plus hautes que longues, à l'angle apical de 80° à 85° , à 20-30 côtes subarrondies à subtectiformes chez les exemplaires de taille moyenne. La valve droite est relativement plate et, au bord antérieur, faiblement concave. Sur la coquille les côtes sont habituellement groupées par deux.

L'ornementation des oreillettes est superficielle, très atténuée. La valve gauche est un peu plus convexe que la valve droite, à l'exception de la partie postérieure qui apparaît aplatie par rapport à la partie médiane. Son oreillette antérieure est beaucoup plus développée que la postérieure, pourvue d'une toute petite encoche byssale et des côtes radiales superficielles. Les côtes de cette valve se multiplient par intercalation. Jusqu'à environ 20 mm de la hauteur, des côtes de premier ordre alternent avec des côtes intercalaires plus minces; ensuite presque toutes les côtes ont la même épaisseur. La partie postérieure, aplatie, de la valve est très peu ornée, presque lisse. Sur les deux valves, les lamelles de croissance sont peu saillantes, visibles seulement dans les espaces intercostaux (ou la coquille est conservée) qui sont aussi larges ou plus larges que les côtes.

Entolioides n. sp. indet.
Pl. II, fig. 11

Une valve gauche de taille moyenne (environ 16 mm de haut) est remarquable par ses plis marginaux internes particulièrement bien développés. Au pli postérieur correspond un sillon superficiel de la coquille qui se poursuit tout le long du bord postérieur à partir de la pointe de l'umbo. La partie umbonale de la coquille est pourvue d'environ dix côtes radiales fines auxquelles viennent s'ajouter ensuite quelques côtes intercalaires. L'oreillette postérieure est fortement convexe au côté externe, déprimée vers le côté interne.

Bibliographie

- Bittner, A. (1892) Brachiopoden der Alpinen Trias. *Abh. k. k. geol. reich.*, XVII/2, Wien.
- Dagys, A.S. (1963) Verhnetriasovie Brahiopodi iuga SSSR. Moskva.
- Delance, J. H. (1974) Zeillerides du Lias d'Europe occidentale (Brachiopodes). *Mém. Géol. Univ. Dijon.*, 2, Dijon.
- Kollarowa-Andrusovova, V., Kochanova, M. (1973) Mollusken-Fauna des Bleskovy Pramen bez Drnava (Nor., West Karpathen). Bratislava.
- Moore, R. C. (1969) Treatise on Invertebrate Paleontology. N-Mollusca 6 (Pelecypoda). Lawrence.
- Quenstedt, Fr. (1856) Der Jura.
- Patrulius, D. (dans ce vol.) The Triassic and Lower Jurassic Formations of the Transylvanian Nappe System (East Carpathians, Romania).
- Suess, E. (1854) Ueber die Brachiopoden der Kössener Schichten. *Denksch. d. Kais. Akad. d. Wissensch. math. naturw.*, VII/II, Wien.
- Zugmayer, H. (1880) Ueber rhatische Brachiopoden. *Jahrb. k. k. geol. Reich.*, XXX, Wien.

Planche I

- Fig. 1 a-d — *Fissirhynchia euxinelliformis* n. sp. Holotype.
Fig. 2 a-d — *Fissirhynchia ageri* n. sp. Holotype.
Fig. 3 — *Fissirhynchia* cf. *fissicostata* (SUESS).
Fig. 4 a-d — *Fissirhynchia fissicostata* (SUESS) var. allongé.
Fig. 5 a-d — *Cirpa sibliki* n. sp. Holotype.
Fig. 6 — *Cirpa* sp. ex gr. *C. sibliki* n. sp. PATRULIUS.
Fig. 7 a-d — *Cirpa* n. sp. indet.
Fig. 8 b, c, d — *Furcirhynchia* n. sp. indet.
Fig. 9 a-d — "*Rhynchonella*" aff. *subrimosa* (SCHAFHAULT).
Fig. 10 a-d — *Piarorhynchia* n. sp.
Fig. 11 — *Lepismatina* cf. *austriaca* (SUESS).
Fig. 12 a, c — *Laballa* sp. ex gr. *L. slavini* DAGYS.
Fig. 13 a-d — *Fimbriothyris zapfei* n. sp.
Fig. 14 b, d — *Zeilleria norica* (SUESS).
Fig. 15 — *Zeilleria* aff. *austriaca* (ZUGMAYER).
Fig. 16 b, c — *Zeilleria elliptica* (ZUGMAYER).
Fig. 17 a-d — *Zeilleria moisseievi* DAGYS.
Fig. 18 b, d — *Zeilleria* sp. ex gr. *Z. moisseievi* DAGYS.
Fig. 19 b, c — *Zeilleria* sp.
Fig. 20 a-d — *Aulacothyris ruedti persanensis* n. spp. Holotype.
Fig. 21 a, c — *Discinisca* sp. A.
Fig. 22 a, c — *Discinisca* sp. B.

a, valve pédonculaire; b, valve brachiale; c, vue latérale; d, vue frontale.

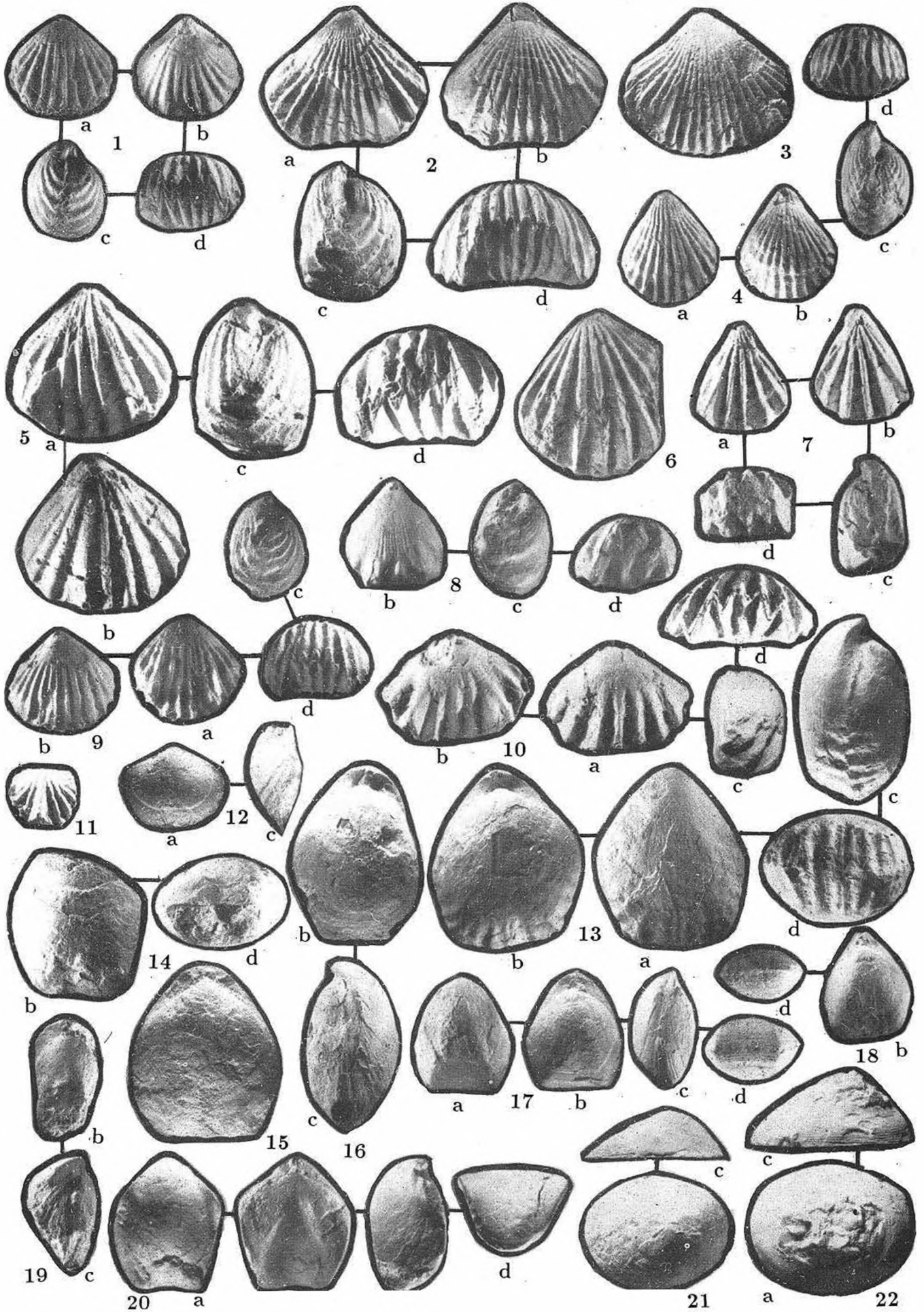


Planche II

- Fig. 1** — *Orytoma inaequalis* (J. SOWERBY).
Fig. 2 — *Antiquilima succinta* (SCHLOTHEIM).
Fig. 3 — *Antiquilima* sp. ex gr. *A. succinta* (SCHLOTH.).
Fig. 4 — *Antiquilima ctenostreiformis* n. sp. Holotype.
Fig. 5 — *Pseudolimea drnavensis* (M. KOCHANOVA).
Fig. 6 — *Pseudolimea subaequilatera* n. sp. Holotype.
Fig. 7 — *Pseudolimea* cf. *hettangiensis* (TERQUEM).
Fig. 8 — *Pseudolimea gaetanii* n. sp. Holotype.
Fig. 9 — *Plagiostoma* sp. ex gr. *P. giganteum* (J. SOWERBY).
Fig. 10 a, b — *Chlamys (Praechlamys) guezi* n. sp. a, holotype; b, paratype.
Fig. 11 — *Entolioides* n. sp. indet.
Fig. 12 — *Modiolus* sp.

